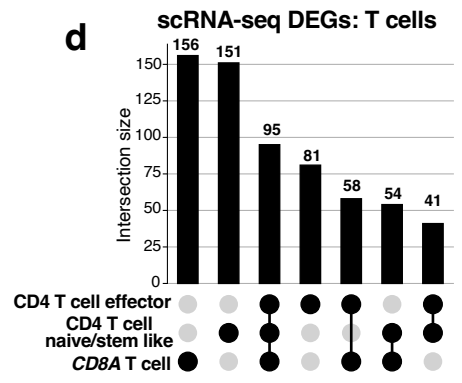


c NHP protective granuloma T1-T17 signature (Gideon et al., 2022)

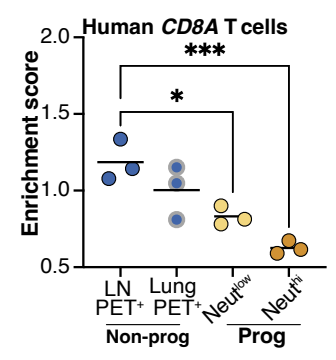
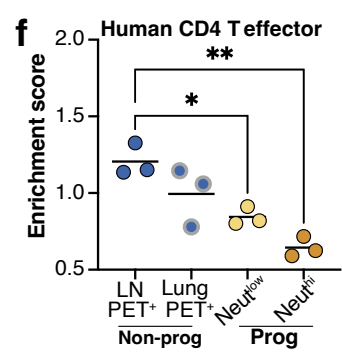
<i>IFNG</i>	<i>PKM</i>
<i>COTL1</i>	<i>CD52</i>
<i>CCL3</i>	<i>EED</i>
<i>GLUL</i>	<i>LCP1</i>
<i>IL2RA</i>	<i>SATB1</i>
<i>FURIN</i>	<i>HOPX</i>
<i>LOC102121980</i>	<i>MTHFD2</i>
<i>RGS16</i>	<i>CCR6</i>
<i>BHLHE40</i>	<i>RORA</i>
<i>TPI1</i>	<i>DAPK2</i>
<i>LTA</i>	<i>IER3</i>
<i>CCL20</i>	<i>ABRACL</i>
<i>TNF</i>	<i>LOC102137336</i>
<i>TFRC</i>	<i>IL23R</i>
<i>S100A4</i>	<i>C7H15orf48</i>
<i>LST1</i>	<i>SLAMF1</i>
<i>GAPDH</i>	<i>EMB</i>
<i>CD2</i>	<i>MXD1</i>
<i>LTB</i>	<i>SLC2A3</i>
<i>PERP</i>	<i>ADAM19</i>
<i>ZBED2</i>	<i>ENTPD1</i>
<i>LOC101925857</i>	<i>NFKBIA</i>
<i>RBPJ</i>	<i>CD40LG</i>
<i>ENO1</i>	<i>LOC102119252</i>
<i>HIF1A</i>	<i>RARRES3</i>
<i>SH3BGRL3</i>	<i>BCL2A1</i>
<i>LOC102123687</i>	<i>CD82</i>

Non-progressor T cell core signature



e

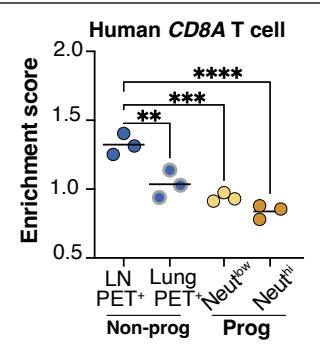
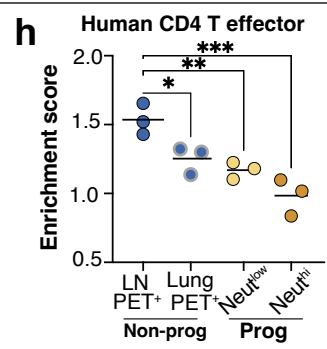
<i>CD2</i>	<i>RAB3IP</i>
<i>CD3D</i>	<i>TC2N</i>
<i>CD3G</i>	<i>PNRC1</i>
<i>CD48</i>	<i>ELK4</i>
<i>CD99</i>	<i>KAT2B</i>
<i>MALT1</i>	<i>SMCDH1</i>
<i>FYB1</i>	<i>SLFN5</i>
<i>CLEC2D</i>	<i>ZNF101</i>
<i>ETS1</i>	<i>OGT</i>
<i>FOXO1</i>	<i>OCIAD2</i>
<i>BTG1</i>	<i>ANKRD12</i>
<i>CDC42SE2</i>	<i>PCNX2</i>
<i>DOCK9</i>	<i>RESF1</i>
<i>FNBP1</i>	<i>C12orf57</i>
<i>TMSB4X</i>	<i>C12orf75</i>
<i>SYNE2</i>	<i>SAMD3</i>
<i>RCAN3</i>	<i>CCSER2</i>
<i>GPR171</i>	



Non-progressor T cell response signature

g

<i>IL7R</i>
<i>LEF1</i>
<i>BIRC3</i>
<i>CD52</i>
<i>ABCD2</i>
<i>THEMIS</i>
<i>TRAT1</i>
<i>ANXA6</i>
<i>B2M</i>
<i>ISG20</i>



Extended Data Fig. 9